

## تأثیر فرآیند آسیاکاری مکانیکی بر احیا کربوترمیک زیرکن

نادر ستوده<sup>۱\*</sup>، محمد علی عسکری زمانی<sup>۱</sup> و عباس محصل<sup>۱</sup>

### چکیده

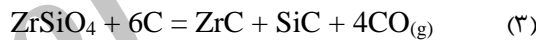
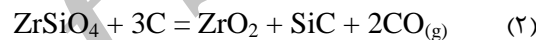
نمونه هایی از مخلوط زیرکن ( $ZrSiO_4$ ) و کربن فعال با نسبت های استوکیومتری متفاوت ( $C/Zircon = 3:1, 6:1$ ) تهییه و به مدت پنج ساعت آسیاکاری شدند. پس از انجام فرآیند آهن زدایی با اسید کلریدیک دو نرمال روی نمونه های آسیاکاری شده، آزمایش های مقدماتی (TGA) روی کلیه نمونه ها در اتمسفر آرگن با خلوص بالا انجام شد. نتایج آزمایش های پراش اشعه ایکس روی باقی مانده های آزمایش (TGA) نشان داد با انجام پنج ساعت آسیاکاری مقدماتی، سرعت احیا کربوترمیک زیرکن افزایش می یابد. فاز زیرکونیایی مونوکلینیک در کلیه نمونه ها پس از انجام احیا، دیده شد اما در نمونه های آسیاکاری شده نسبت وزنی کربن به زیرکن  $6$  به یک در دمای  $1400$  درجه سانتی گراد به مدت یک ساعت در اتمسفر آرگن، منجر به تشکیل فاز های کاربید زیرکونیم و کاربید سیلیسیم شد.

**واژه های کلیدی:** آسیاکاری مکانیکی، احیا کربوترمیک، زیرکن، زیرکونیا.

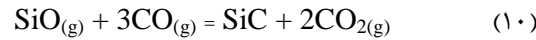
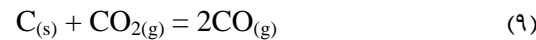
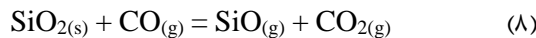
۱- استادیار گروه مهندسی مواد، دانشکده مهندسی، دانشگاه یاسوج.

## پیشگفتار

پژوهش‌هایی در سال‌های گذشته در رابطه با تجزیه زیرکن و تولید اکسید زیرکونیا انجام شده است. زیرکن خالص در دماهای بالاتر از ۱۵۰۰ درجه کلوین به فاز زیرکونیا و سیلیس آمرف تجزیه می‌شود و پس از سرد شدن محصول، فاز زیرکونینای بدست آمده عمدتاً ساختار مونوکلینیک دارد. پژوهش‌هایی نیز در گذشته در زمینه احیا کربوترمیک زیرکن و یا سایر ترکیبات زیرکونیم بمنظور تولید کاربید زیرکونیم انجام شده است که نتیجه این پژوهش‌ها نشان داده، واکنش احیای کربوترمیک زیرکن بشدت به نسبت کربن به زیرکن در مخلوط مواد اولیه بستگی دارد. به بیان دیگر، با تغییر نسبت استوکیومتری کربن به زیرکن و بر اساس واکنش‌های (۱) تا (۳) می‌توان به محصولات گوناگونی رسید [۶-۱] :

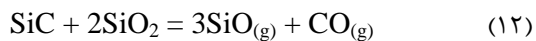


در مراجع معمولاً تشکیل کاربید سیلیسیم در هنگام احیا کربوترمیک زیرکن را به واکنش (۴) ربط می‌دهند، اما در شرایط واقعی مسیر تشکیل محصول نهایی بسیار پیچیده‌تر از واکنش (۴) است. بر اساس شرایط آزمایشگاهی، فرآیند تشکیل کاربید سیلیسیم شامل تعدادی از واکنش‌های جامد- واکنش‌های جامد- گاز و واکنش‌های حالت گاز- گاز است که می‌توان آن‌ها را در واکنش‌های (۵) تا (۱۱) خلاصه کرد [۲، ۵، ۷، ۸] :

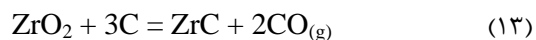


پژوهش‌های گوناگون نشان داده است که سرعت واکنش احیا کربوترمیک سیلیس با افزایش مقدار کربن زیاد می‌شود. از سوی دیگر، کربن اضافه برای جلوگیری از اتلاف محصول به واسطه تشکیل فاز بخار ( $\text{SiO}_{(g)}$ ) و

جلوگیری از انجام واکنش ناخواسته (۱۲)، لازم است [۱، ۲، ۵] .



تشکیل کاربید زیرکونیم نیز مشابه با فرآیند تشکیل کاربید سیلیسیم، مکانیزم پیچیده‌ای در فرآیند احیا کربوترمیک زیرکن دارد، اما در مراجع انجام آن را به طور خلاصه به صورت واکنش (۱۳) نشان می‌دهند [۵] :



بنابراین، انجام واکنش (۳) و تشکیل کاربیدهای زیرکونیم و سیلیسیم در مرحله احیا کربوترمیک زیرکن، خود شامل مجموعه‌ای از واکنش‌های (۴) تا (۱۳) است که انجام آن‌ها (نوع مسیر احیا) بستگی به شرایط آزمایشگاهی دارد. گفتنی است انجام واکنش‌های بالا در شرایط متعارف همان گونه که در مراجع نیز ذکر شده به دمای‌های بالاتر از ۱۵۰۰ درجه سانتی‌گراد نیاز دارد.

کاربید زیرکونیم و کاربید سیلیسیم از جمله ترکیبات سرامیکی هستند که به دلیل خواص مطلوب از جمله استحکام شکست بالا، تحمل دمای‌های بالا، مقاومت سایشی زیاد، هم‌چنین پایداری شیمیایی بالا، کاربردهای زیادی در صنایع سرامیک، مواد نسوز و ترکیبات سایشی دارند. استفاده از این کاربیدها در یک زمینه با چقفرمگی مطلوب می‌تواند منجر به تشکیل یک کامپوزیت با خواص مناسب شود [۵] .

پژوهش‌های گذشته نقش موثر آسیاکاری مکانیکی را روی سینتیک واکنش‌ها یا کاهش دمای انجام واکنش‌ها در اثر انجام عملیات آسیاکاری پر انرژی روی مخلوط مواد اولیه، نشان داده است [۹-۱۰]. کاهش دمای تجزیه زیرکن به حدود  $1300^{\circ}\text{C}$  در مخلوط آلومینا/ زیرکن در اثر فرآیند آسیاکاری مکانیکی ثابت شده است [۱۱]. هم‌چنین، به روش مکانوشیمیایی و با استفاده از آسیاکاری پرانرژی ترکیب نانوکامپوزیت ( $\text{Cu-Cr}-\text{Al}_2\text{O}_3$ ) ساخته شده است [۱۲]. از سوی دیگر، پژوهش‌هایی نیز در راستای نقش آسیاکاری مکانیکی بر احیا کربوترمیک برخی از ترکیبات انجام شده است [۱۳-۱۶]. با آن‌که اثر مقدار کربن در مخلوط مواد اولیه در رابطه با احیای کربوترمیک زیرکن تا حدودی بررسی شده [۱۰، ۱۲، ۱۵] ، اما پژوهشی در رابطه تاثیر آسیاکاری مخلوط مواد اولیه بر فرآیند احیای

آزمایش‌های (TGA) در اتمسفر آرگن با خلوص بالا (۰.۹۹/۹٪) به وسیله دستگاه (Netzsch STA 409 PC/PG) موجود در مرکز تحقیقات فرآوری مواد معدنی ایران در محدوده دمایی ۲۵-۱۴۵۰ درجه سانتی‌گراد با سرعت گرمایش ۱۰ درجه در دقیقه انجام شد. آزمایش‌های گرمایش در شرایط هم‌دما در کوره تیوبی (Lenton, LTF, 16-180) انجام شد. برای انجام آزمایش‌های گرمایش هم‌دما، نمونه‌ها درون بوته آلومینایی تا دمای ۱۴۰۰ درجه سانتی‌گراد با نرخ گرمایش ۱۰ درجه در دقیقه گرم و در این دما به مدت یک ساعت نگهداری شدند. اتمسفر کوره در تمام مدت آزمایش هم‌دما (مرحله گرمایش، نگهداری و سرد کردن نمونه تا دمای اتاق) آرگن با خلوص بالا بود. ابتدا بوته آلومینایی دارای مخلوط مواد اولیه درون کوره قرار داده سپس جریان گاز آرگن با خلوص بالا (۰.۹۹/۹٪) با فلوي ۵ میلی لیتر در دقیقه درون کوره برقرار شد و پس از گذشت پنج دقیقه از دمش گاز آرگن، کوره روشن شد. آزمایش‌های پراش اشعه ایکس روی کلیه نمونه به وسیله دستگاه پراش اشعه ایکس (PHILIPS Xpert Pro) موجود در مرکز تحقیقات فرآوری مواد معدنی ایران با تابش پرتو کالت (Co- $k\alpha$ ) در محدوده زاویه (۲۰-۹۰ درجه با زمان ۱۵-۱۰ پرتودهی یک ثانیه در هر درجه، انجام شد.

## نتایج و بحث

### نتایج آزمایش‌های (TGA)

آزمایش‌های وزن‌سنگی حرارتی (TGA) روی نمونه‌های بدون آسیاکاری مقدماتی و نمونه پنج ساعت آسیاکاری شده (پس از انجام فرآیند آهن‌زادایی) برای نسبت‌های گوناگون استوکیومتری زیرکن به کربن انجام شد. شکل ۱ نتایج آزمایش (TGA) بر حسب دما برای کلیه نمونه‌ها نشان می‌دهد. با توجه به شکل ۱ در نمونه‌هایی که با نسبت استوکیومتری (بر اساس واکنش استوکیومتری استفاده شده) جرم در حدود ۱۴٪ تهیه شده است، مقدار کاهش جرم در حدود ۶٪ است، اما برای نمونه‌هایی که از کربن بیش از مقدار استوکیومتری استفاده شده (نسبت زیرکن به کربن ۱:۶) مقدار کاهش جرم به حدود ۲۵٪ می‌رسد (نمونه ۶U). محاسبات استوکیومتری نشان می‌دهند در صورتی که

کربوپترمیک زیرکن و بررسی نوع محصولات، انجام نشده است. در این پژوهش برای بررسی تاثیر فرآیند آسیاکاری مکانیکی بر واکنش احیای کربوپترمیک زیرکن از دو نمونه مخلوط مواد اولیه با نسبت‌های استوکیومتری زیرکن به کربن (۱:۳) و (۱:۶) (مطابق با واکنش‌های ۲ و ۳) استفاده گردید. واکنش‌های احیا کربوپترمیک در شرایط بدون آسیاکاری مکانیکی نیز روزی مخلوط مواد اولیه انجام و نتایج آن‌ها با حالت آسیاکاری مکانیکی مقایسه شد.

## مواد و روش‌های آزمایش

مخلوط‌هایی از زیرکن (خلوص ۰.۹۸٪،  $d_{90} = 10 \mu\text{m}$ ) و کربن (JCPDS card file No.081-0588، (خلوص ۰.۹۹٪،  $d_{90} = 58 \mu\text{m}$ ) بر اساس واکنش‌های (۲) و (۳) با نسبت‌های مولی زیرکن به کربن ۱:۳ و ۱:۶ تهیه شدند. جدول ۱ مشخصات مواد اولیه و کد اختصاری هر کدام از نمونه‌های مورد آزمایش را نشان می‌دهد. مخلوط مواد اولیه به دو دسته تقسیم شدند. دسته نخست در شرایط بدون آسیاکاری مکانیکی و روی دسته دوم مخلوط مواد اولیه، فرآیند آسیاکاری مکانیکی به مدت پنج ساعت انجام شد. فرآیند آسیاکاری مکانیکی در یک آسیا سیاره‌ای ساخت شرکت فراپژوهش زاینده‌رود (مدل FP2) به مدت پنج ساعت انجام شد. مخلوط مواد اولیه با شش عدد گلوله (فولاد زنگ نزن کروم دار) به قطر ۲۰ میلی‌متر درون محفظه آسیا (از جنس فولاد کروم دار تمپر شده) قرار داده شد تا نسبت وزنی گلوله به پودر ۴۰ به یک بدست آید. سرعت چرخش بهینه دستگاه بر اساس آزمایش‌های مقدماتی ۶۰۰ دور در دقیقه انتخاب شد. پودرهای بدست آمده پس از پایان پنج ساعت آسیاکاری، با اسید کلریدریک دو نرمال به مدت ۳۰ دقیقه اسیدشوابی شده تا ناخالصی آهن وارد شده به واسطه سایش جداره و گلوله‌های آسیا از بین برود. پس از پایان فرآیند آهن‌زادایی، باقی مانده جامد در یک آون آزمایشگاهی در دمای ۱۲۰ درجه سانتی‌گراد به مدت دو ساعت قرار داده شد تا رطوبت آن کاملاً از بین برود سپس مخلوط بدست آمده برای انجام آزمایش‌های تکمیلی در ظروف مخصوص نگهداری شد.

۱۲۴۰ درجه سانتیگراد رخ می دهد و در هیچ کدام از نمونه ها، فرآیند کاهش جرم حتی در دمای ۱۴۵۰ درجه سانتیگراد کامل نمی شود. بمنظور مشخص شدن هر مرحله از تغییرات شیب در منحنی کاهش جرم (نمودار TGA)، نمودار (dTGA) بر حسب دما با استفاده از داده های شکل ۱ محاسبه و نتایج در شکل ۱ رسم شد. با توجه به شکل ۲ در دمای کمتر از ۳۰۰ درجه سانتیگراد یک پیک کوچک در همه نمونه ها دیده می شود که عمدتاً مربوط به آزاد شدن رطوبت درون ذرات است. یک پیک کوچک در دمای حدود ۷۰۰ درجه سانتیگراد در نمونه (6U) مشاهده می شود که بررسی های انجام شده هیچ گونه واکنش و یا تغییر فاز خاصی را در این دما نشان نداد. با توجه به شکل ۲، نشانه هایی از یک پیک بزرگ در دمای بالاتر از ۱۲۰۰ درجه سانتیگراد در تمام نمونه ها وجود دارد. برای بررسی دقیق تر و مشخص کردن محصولات واکنش احیا، کلیه باقی مانده های آزمایش (TGA) به روش پراش اشعه ایکس بررسی شدند.

### نتایج آنالیز های (XRD)

در شکل ۳ نتایج آنالیز پراش اشعه ایکس باقی مانده های بدست آمده از آزمایش های وزن سنجی حرارتی آمده است. با توجه به نتایج شکل ۱، پیک های زیرکن (با شماره کارت ۰۸۱-۰۵۸۸) با شدت زیادی در نمونه بدون آسیاکاری (3U) دیده می شود، ولی در زاویه های حدود ۳۳ و ۳۷ درجه نشانه هایی ضعیفی از یک فاز دیده می شود که مربوط به زیرکونیای مونوکلینیک (با شماره کارت ۰۰۷-۰۳۴۳) است.

با توجه به مقدار ۱۴٪ کاهش وزن در نمونه بدون آسیاکاری (3U) و مشاهده شکل های ۱ و ۲ مشخص می شود که در این نمونه فرآیند احیا زیرکن (تجزیه زیرکن) آغاز شده است. با توجه به نتایج آنالیز نمونه (6U) و مقایسه آن با نمونه (3U) در شکل (۳) مشخص می شود که شدت نسبی پیک های فاز زیرکونیای مونوکلینیک افزایشی چشمگیر پیدا کرده است. این امر نشان دهنده تجزیه بیشتر فاز زیرکن می باشد. بنابراین، افزایش مقدار کربن در مخلوط مواد اولیه (نسبت

واکنش های (۲) و (۳) به گونه کامل انجام شوند، به ترتیب کاهش جرمی برابر با ۲۵/۵٪ و ۴۳/۹٪ بدست می آید. بنابراین، مقدار کاهش جرم واقعی که برای نمونه ها در شکل ۱ بدست آمد، همواره کمتر از مقدار تئوری محاسبه شده است.

با توجه به شکل ۱، در کلیه نمونه ها کاهش جرم از دماهای کمتر از ۱۰۰ درجه سانتیگراد آغاز می شود و تقریباً برای همه نمونه ها می توان سه مرحله مجازی کاهش جرم با شیب های متفاوت مشاهده کرد. در نمونه های بدون آسیاکاری مقدماتی (نمونه ۳U و 6U) روند تغییرات کاهش جرم تقریباً مشابه است. در هر دو نمونه پس از یک مرحله مقدماتی کاهش جرم که از دمای اتاق آغاز شده، سرعت کاهش جرم پس از دمای حدود ۵۰۰ درجه سانتیگراد بیشتر می شود و پس از دمای حدود ۱۳۰۰ درجه سانتیگراد، شیب منحنی تغییر کرده و سرعت کاهش جرم شتاب بیشتری پیدا می کند. روند کاهش جرم در دو نمونه آسیاکاری شده (3M و 6M) نیز تا حدودی به هم شبیه است. در این دو نمونه، کاهش جرم از دمای حدود ۲۰۰ درجه سانتیگراد آغاز می شود و در دمای حدود ۱۲۰۰ درجه سانتیگراد شیب تغییرات کاهش جرم عوض می شود. البته، در نمونه (6M) مقدار کاهش جرم در دماهای کمتر از ۵۰۰ درجه سانتیگراد به مراتب بیشتر از سایر نمونه ها است.

کاهش جرم تا دماهای حدود ۱۲۰۰ درجه سانتیگراد بیشتر مربوط به آزاد شدن رطوبت و گازهای محبوب در لابه لای ذرات مواد (بویژه ذرات کربن فعال) است. پژوهش های گذشته نشان داده در اثر آسیاکاری نمونه های کربنی، گرافیت و یا کربن فعال میزان جذب گاز در آن ها افزایش می یابد [۱۷-۱۹]. روش است با افزایش مقدار کربن در مخلوط مواد اولیه، میزان جذب گاز نیز بیشتر و در نتیجه مقدار کاهش جرم بیشتری در دماهای کمتر از ۵۰۰ درجه سانتیگراد برای نمونه (6M) قبل انتظار است. از سوی دیگر، آزمایش های مقدماتی پراش اشعه ایکس روی کلیه نمونه ها، هیچ گونه نشانه ای از انجام واکنش و یا تغییرات فاز را تا دماهای ۱۲۰۰ درجه سانتیگراد نشان نداد. بیشترین مقدار کاهش جرم در همه نمونه ها بر اساس شکل ۱ در محدوده دمایی ۱۲۸۰-

( $\text{SiO}_2$ ) و واکنش آن با کربن اضافه و سیلیسیم ( $\text{SiO}$ ) باقی ماند از تجزیه زیرکن یا واکنش همزمان آن با  $\text{ZrO}_2$  و  $\text{SiC}$  تولید شده، در مسیر احیا کربوترمیک زیرکن اشاره شده است [۱، ۳]. از سوی دیگر، در هنگام واکنش  $\text{SiO}$  احیا کربوترمیک سیلیسیم در کوره‌های الکتریکی، فاز  $\text{SiO}$  به صورت یک محصول میانی می‌تواند تشکیل شود که در اثر سرد شدن و رسوب روی تجهیزات، به صورت سیلیسیم آمورف در می‌آید [۲۰]. در برخی از مراجع نیز اشاره شده که سیلیسیم بدست آمده در اثر تجزیه زیرکن، حالت آمرف دارد [۵]. با این حال، تشخیص دقیق نوع ترکیب حاوی سیلیسیم در نمونه (6M) و یا (6U) با توجه به روش آنالیز موجود در شکل ۳ دشوار است. نتایج مربوط به شکل ۳ نشان می‌دهد در هیچ‌کدام از نمونه‌های مربوط به شرایط ناهمدم (آزمایش‌های TGA)، نشانه‌ای از فاز کاربید زیرکونیم دیده نشد.

با توجه به نتایج شکل‌های ۱ و ۳، مشخص می‌شود که ترکیب دو عامل، مقدار کربن و فرآیند آسیاکاری مکانیکی روی مخلوط مواد اولیه، نقش موثری در فرآیند احیا کربوترمیک زیرکن داشته است. نکته قابل توجه در شکل ۳ تغییرات شدت نسبی فازهای زیرکونیای تتراتagonal و مونوکلینیک با انجام فرآیند آسیاکاری مکانیکی است. مقدار فاز زیرکونیای تتراتagonal در کلیه نمونه‌ها با استفاده از رابطه (۱) محاسبه و نتایج در جدول ۲ درج شد. در رابطه (۱)،  $I_{t(111)}$ ،  $I_{m(111)}$  و  $I_{m(1\bar{1}\bar{1})}$  به ترتیب شدت نسبی پیک‌های اصلی فازهای زیرکونیای تتراتagonal (زواياه ۳۵/۱۸ درجه) و مونوکلینیک (زواياي حدود ۳۲/۸ و ۳۶/۷ درجه) هستند [۲۱].

$$F_t = \frac{I_{t(111)}}{I_{t(111)} + I_{m(111)} + I_{m(1\bar{1}\bar{1})}} \quad (1)$$

داده‌های ترمودینامیکی نشان می‌دهند که فاز زیرکونیای تتراتagonal در محدوده دمایی ۱۱۷۲-۲۳۴۷ درجه سانتی‌گراد پایدار بوده و در دمای کمتر از ۱۱۷۲ درجه سانتی‌گراد، فاز مونوکلینیک پایدار است [۲۲]. بنابراین، انتظار است در کلیه نمونه‌ها پس از سرد شدن تا دمای اتفاق، فاز زیرکونیای بدست آمده ساختار مونوکلینیک را داشته باشد. نتایج پراش اشعه ایکس (شکل ۳) و داده‌های جدول ۲ نشان می‌دهند انجام آسیاکاری مقدماتی روی مخلوط مواد اولیه تأثیر زیادی بر

استوکیومتری کربن به زیرکن ۶ به یک) تاثیری چشمگیر در فازهای محصول داشته است. نشانه‌های بسیار ضعیفی در نمونه (6U) در زاویه حدود ۳۵ درجه مشاهده می‌شود که مربوط به فاز زیرکونیای تتراتagonal (۱۷-۰۹۲۳) است. مقدار کاهش جرم برای نمونه (6U) با توجه به شکل ۱ در حدود ۰٪۲۳ است که از مقدار کاهش جرم تئوری واکنش (۳) (حدود ۰٪۴۳/۸۷) کمتر است. با توجه به وجود نشانه‌های فاز زیرکن در این نمونه (با وجود افزایش مقدار کربن بیشتر از مقدار استوکیومتری)، مشخص است که واکنش تجزیه زیرکن در نمونه (6U) بطور کامل انجام نشده است.

نتایج پراش اشعه ایکس (شکل ۳) برای نمونه‌های آسیاکاری شده به مدت پنج ساعت، تفاوت‌هایی با نمونه‌های بدون آسیاکاری دارد. مقایسه فازهای موجود در نمونه (3M) با نمونه مشابه بدون آسیاکاری (3U)، نشان می‌دهد شدت نسبی پیک‌های زیرکن با انجام فرآیند آسیاکاری کاهش چشمگیری داشته است و در مقابل به شدت نسبی پیک‌های زیرکونیای مونوکلینیک افزوده شده است. در نمونه (6M) نشانه‌های ضعیفی از فاز زیرکن دیده می‌شود و در مقابل شدت نسبی پیک‌های زیرکونیای مونوکلینیک زیاد است همچنین، در این نمونه شدت ۳۵ نسبی پیک زیرکونیای تتراتagonal (در زاویه حدود ۰٪۲۲-۱۳۱۶ با ساختار رومبوهدرال) دیده درجه) بیشترین مقدار را در بین تمام نمونه‌ها دارد. در نمونه‌های (6M) و (6U) نشانه‌هایی ضعیفی از فاز  $\text{SiC}$  (با شماره کارت ۰۲۲-۱۳۱۶ با ساختار رومبوهدرال) دیده می‌شود، اما برخی از پیک‌های این فاز با فازهای زیرکونیا تداخل دارد و از این رو، تشخیص دقیق فاز  $\text{SiC}$  را با مشکل مواجه می‌سازد.

با بررسی نتایج شکل ۳ مشخص می‌شود که علت اصلی کاهش جرم در آزمایش‌های (TGA) مربوط به واکنش احیا زیرکن و تشکیل ترکیباتی از زیرکونیا و فازی حاوی سیلیسیم (احتمالاً  $\text{SiC}$ ) است، اما با توجه به شکل ۳ مشخص می‌شود که ترکیب  $\text{SiC}$  به طور کامل بلوری نشده است. با توجه به واکنش‌های (۴) تا (۱۱) و مسیر احیا کربوترمیک سیلیسیم، محصول واکنش کربوترمیک سیلیسیم می‌تواند  $\text{SiC}$  یا مخلوطی از هر دو باشد. در پژوهش‌های گذشته به وجود ترکیب گازی

### نتایج آزمایش‌های همدما

نتایج شکل ۳ نشان داد که افزایش مقدار کربن در نمونه‌هایی که به مدت پنج ساعت آسیاکاری شده بودند، می‌تواند منجر به حذف زیرکن شود. برای بررسی امکان تشكیل فازهای کاربید سیلیسیم و یا کاربید زیرکونیم در اثر احیای کربوترمیک زیرکن، دو دسته آزمایش در شرایط هم‌دما (دماهای  $1400^{\circ}\text{C}$  درجه سانتی‌گراد و زمان نگهداری یک ساعت) روی نمونه‌های آسیاکاری شده ( $3\text{M}$  و  $6\text{M}$ ) در اتمسفر آرگن با خلوص بالا انجام شد. با توجه به شکل ۱ مشخص است که سرعت واکنش احیا کربوترمیک در دماهای بالاتر از  $1200^{\circ}\text{C}$  درجه سانتی‌گراد زیاد می‌شود همچنین، بیشترین مقدار کاهش جرم در دماهای حدود  $1400^{\circ}\text{C}$ ، مربوط به نمونه‌های آسیاکاری است. بنابراین، آزمایش‌های هم‌دما در دماهای  $1400^{\circ}\text{C}$  درجه سانتی‌گراد، فقط روی نمونه‌های آسیاکاری مکانیکی، انجام شد.

شکل ۴ نتایج آنالیز پراش اشعه ایکس را بر باقی مانده‌های جامد در شرایط آزمایش‌های هم‌دما برای نمونه‌های ( $3\text{MI}$  و  $6\text{MI}$ ) نشان می‌دهد. با توجه به شکل ۴ در نمونه ( $3\text{MI}$ ) فاز زیرکن به گونه کامل از بین رفته است و در مقابل فاز زیرکونیای مونوکلینیک وجود دارد. در نمونه ( $3\text{MI}$ ) نشانه‌هایی نیز از فاز زیرکونیای تتراترونال وجود دارد که با استفاده از رابطه (۱) مقدار آن حدود ۱۱٪ بدست آمد. نشانه‌هایی نیز از فازهای کاربید زیرکونیم و کاربید سیلیسیم در نمونه ( $3\text{MI}$ ) در شکل ۴ مشاهده می‌شود. این مورد نشان می‌دهد که نگهداری به مدت یک ساعت در دماهای  $1400^{\circ}\text{C}$  درجه سانتی‌گراد برای تشكیل فازهای کاربید سیلیسیم و کاربید زیرکونیم کافی بوده است. نشانه‌های بسیار ضعیفی نیز از فاز کریستالوپالیت ( $\text{SiO}_2$ ) در نمونه ( $3\text{MI}$ ) در شکل ۴ دیده می‌شود.

با توجه به شکل ۴، در نمونه ( $6\text{MI}$ ) تنها فازهای کاربید سیلیسیم و کاربید زیرکونیم وجود دارند. نبود نشانه‌ای از فازهای زیرکن و یا زیرکونیا نشان می‌دهد که واکنش احیا کربوترمیک زیرکن در این نمونه بطور کامل رخ داده است. با توجه به نتایج شکل‌های ۳ و ۴ می‌توان نتیجه گرفت که واکنش احیا کربوترمیک زیرکن برای تولید کاربید زیرکونیم شامل دو مرحله است؛ ابتدا زیرکن

افزایش مقدار فاز زیرکونیای تتراترونال داشته است. پایداری آلوتروب‌های زیرکونیا افزون بر دما، به عواملی از جمله مقدار ناخالصی‌های همراه مواد اولیه، نوع آن‌ها و اندازه ذرات فاز زیرکونیا بسته آمده (تابعی از اندازه ذرات زیرکن اولیه) نیز بستگی دارد [۲۳-۲۵]. پژوهش‌های گذشته نشان داده است درشت شدن فاز زیرکونیا که ناشی از اندازه درشت نمونه اولیه زیرکن و یا انجام واکنش در دماهای بالا است، منجر به تسريع دگرگونی فاز تتراترونال به مونوکلینیک در هنگام سرمایش می‌شود [۲۳]. نشانه‌هایی از فاز زیرکونیای تتراترونال در مسیر احیا کربوترمیک زیرکن در اتمسفر نیتروزن نیز مشاهده شده است [۲]. هم‌چنین، فاز زیرکونیای تتراترونال در مسیر احیا کربوترمیک سایر ترکیبات زیرکونیم برای رسیدن به کاربید زیرکونیم نانو بلوری نیز مشاهده شده است. نتایج نشان داده است با درشت شدن اندازه ذرات در مسیر احیا کربوترمیک، میزان زیرکونیای تتراترونال کاهش می‌یابد [۴]. در پژوهشی که از ماده افزودنی یوتريا ( $\text{Y}_2\text{O}_3$ ) در فرآیند احیا کربوترمیک زیرکن استفاده شده بود، نشانه‌هایی از فاز زیرکونیای مکعبی در پایان فرآیند تجزیه زیرکن مشاهده شد [۲۶].

با توجه به شکل ۳، شدت نسبی فاز زیرکونیای مونوکلینیک در نمونه ( $6\text{U}$ ) از تمام نمونه‌ها بیشتر است. این مورد نشان می‌دهد که با افزایش مقدار کربن در مخلوط مواد اولیه، مقدار بیشتری از زیرکن احیا و تبدیل به فاز زیرکونیا شده است، اما در اثر فرآیند آسیاکاری مکانیکی، شدت نسبی فاز زیرکونیای تتراترونال افزایش یافته است و در نمونه ( $6\text{M}$ ) بیشترین مقدار فاز زیرکونیای تتراترونال (جدول ۲) وجود دارد. با توجه به نتایج شکل‌های ۱ و ۳ مشخص می‌شود که واکنش تجزیه زیرکن در نمونه آسیاکاری شده ( $6\text{M}$ )، تقریباً در دماهای  $1400^{\circ}\text{C}$  کامل شده است. بنابراین، انجام آسیاکاری مکانیکی روی مخلوط مواد اولیه منجر به تسريع احیای زیرکن و تشكیل فاز زیرکونیا در دماهای پایین تر ( $1400^{\circ}\text{C}$ ) شده است، بنابراین، انتظار می‌رود که در نمونه ( $6\text{M}$ ) مقدار فاز زیرکونیای تتراترونال بیشترین مقدار باشد.

استوکیومتری کاربید زیرکونیم به دماهای بالاتر از ۱۶۰۰ درجه سانتی گراد نیاز است [۶]. در هر حال، با توجه به هدف اصلی این پژوهش، مشخص شد افزون بر نسبت کربن به زیرکن در مخلوط مواد اولیه، فرآیند آسیاکاری مکانیکی نقشی مهم بر کاهش دمای احیا کربو ترمیک زیرکن و تولید کاربید زیرکونیم دارد. همچنین، فاز زیرکونیای تراگونال عمدهاً در مسیر احیا کربو ترمیک نمونه های آسیاکاری مکانیکی، آشکار می شود.

### نتیجه گیری

نتایج این پژوهش نشان داد ترکیب دو عامل آسیاکاری مکانیکی (به مدت پنج ساعت) و افزایش مقدار کربن در مخلوط مواد اولیه (زیرکن و کربن اکتیو) تاثیر زیادی در کاهش دمای تجزیه زیرکن در واکنش احیا کربو ترمیک و تولید کاربیدهای محصول (بر اساس واکنش<sup>۳</sup>) دارد. در شرایط آزمایش های هم دما (دمای ۱۴۰۰ درجه سانتی گراد و زمان نگهداری یک ساعت) روی نمونه (6MI) کلیه نشانه های مواد اولیه از بین رفت و تنها فازهای کاربید زیرکن و کاربید سیلیسیم وجود داشت. نشانه هایی از فاز زیرکونیای تراگونال نیز در مسیر احیا کربو ترمیک زیرکن در نمونه های آسیاکاری مشاهده شد در حالی که در نمونه های بدون آسیاکاری تنها فاز زیرکونیای مونوکلینیک وجود داشت.

### تشکر و قدردانی

نویسندها از همکاری مدیریت محترم مرکز تحقیقات فراوری مواد معدنی ایران (تهران) همچنین، سرکار خانم موسوی و آقای مهندس کریمی تشکر می کنند.

### References

- 1- S. De Souza and B.S.Terry, "Production of stabilized and non-stabilized ZrO<sub>2</sub> by carbothermic reduction of ZrSiO<sub>4</sub>", Journal of Materials Science, Vol.29, pp.3329-3336, 1994.
- 2- P.K. Panda, L.Mariappan, V.A.Jaleel and T.S.Kannan, "Preparation of zirconia and silican carbide whisker biphasic powder mixtures by carbothermical reduction of zircon

به فاز زیرکونیا تبدیل شده سپس فاز کاربید زیرکونیم از فاز زیرکونیا بدست می آید.  
نشانه هایی نیز از فاز کاربید سیلیسیم نیز در نمونه (6MI) (شکل ۴) وجود دارد که برخی از پیک های آن (بویژه در زوایای بالاتر) با کاربید زیرکونیم هم پوشانی دارند. با توجه به تفاوت ساختار بلوری کاربید زیرکونیم و کاربید سیلیسیم مشخص می شود که زمان یک ساعت در دمای ۱۴۰۰ درجه سانتی گراد برای تشکیل کامل بلورهای کاربید سیلیسیم کافی نبوده است. همچنین، با بررسی دقیق فازهای بدست آمده مشخص می شود که پیک های کاربید زیرکونیم نیز مقداری انحراف به سمت زوایای بالاتر دارند. این مورد می تواند ناشی از وجود مقداری اکسیژن به جای کربن در ساختار فاز کاربید نهایی باشد. مشابه این مورد برای احیای کربو ترمیک دی اکسید تیتانیم نیز مشاهده شده است [۱۴]. برخی از پژوهش ها نشان داده است که افزایش دما و زمان نگه داری می تواند به حذف بیش تر اکسیژن از ساختار کاربیدها و تهیه ترکیب تقریباً استوکیومتری کاربید زیرکونیم یا کاربید سیلیسیم منجر شود [۳,۶].

پژوهش های پیشین نشان داده است بسته به نوع مواد اولیه، نوع اتمسفر فرآیند احیا و یا روش احیا، واکنش کربو ترمیک زیرکن در محدوده دمایی ۱۴۰۰-۱۷۰۰ درجه سانتی گراد تقریباً کامل شده و برای رسیدن به ترکیبات کاربید سیلیسیم یا کاربید زیرکونیم افزون بر افزایش مقدار کربن در مخلوط مواد اولیه به محدوده دمایی ۱۷۰۰-۱۶۰۰ درجه سانتی گراد نیاز است [۱-۴]. از سوی دیگر، در فرآیندهایی که از دیگر ترکیبات زیرکونیم (زیرکونیم کلراید) برای تولید کاربید زیرکونیم استفاده شده، واکنش کربو ترمیک در محدوده دمایی ۱۵۰۰-۱۴۰۰ در اتمسفر آرگن تقریباً کامل شد و آزمایش ها نشان دادند که برای رسیدن به ترکیب

powders", Journal of Materials Science, Vol.31, pp.4277-4288, 1996.

3- N.Rigopoulos, A.Oh, M.Yousufi, R.G. O'Donnell and M.B.Trigg, "The carbothermal reduction of zircon to zirconia and silicon carbide for ceramics and refractories", Journal of Australian Ceramic Society, Vol. 45(2), pp.54-58, 2009.

- 4- M.D. Sacks, C.A.Wang, Z.Yang, and A.Jain "Carbothermal reduction synthesis of nanocrystalline zirconium carbide and hafnium carbide powders using solution-derived precursors", *Journal of Materials Science*, Vol.39, pp.6057-6066, 2004.
- 5- Lj. Kljajevic, B.Matovic, A. Radosavljevic-Mihajlovic, M. Rosic, S. Boskovic and A. Devecerski, "Preparation of  $ZrO_2$  and  $ZrO_2/SiC$  powders by carbothermal reduction of  $ZrSiO_4$ ", *Journal of Alloys and Compounds*, Vol.509, pp.2203-2215, 2011.
- 6- D.W.Lee, S.M.Jin, J.H.Yu and H.M.Lee, "Synthesis of ultrafine  $ZrC$  powders by novel reduction process", *Materials Transactions*, Vol.51, (12), pp.2266-2268, 2010.
- 7- D.H. Filsinger and D.B. Bourrie, "Silica to silicon: Key carbothermic reduction and kinetics", *Journal of American Ceramic Society*, Vol. 73(6), pp. 1726-1732, 1990.
- 8- V.D.Krstic, "Production of Fine, high purity beta silicon carbide powders", *Journal of American Ceramic Society*, Vol. 75(1), pp.170-174, 1992.
- 9- P. Balaz, *Extractive Metallurgy of Activated Minerals*, Elsevier, Amsterdam, 2000.
- 10- N.J.Welham, "Mechanical activation of the solid-state reaction between Al and  $TiO_2$ " *Materials Science and Engineering A*, Vol. 255(1-2), pp. 81-89, 1998.
- ۱۱- ن. ستوده، "تأثیر فرآیند فعالسازی مکانیکی در مخلوط آومینا-زیرکن بر واکنش تشکیل مولیت-زیرکونیا"، مجله مواد نوین، جلد ۲، شماره ۳، ص. ۲۷-۳۸، بهار ۱۳۹۱.
- ۱۲- ح. ر. عزت پور، م. حداد سیزووار، ج. وحدتی خاکی و ح. حمیدی، "تولید درجای نانوکامپوزیت  $(Cu-Cr)-Al_2O_3$  به روش مکانوشیمیایی"، مجله مواد نوین، جلد ۱، شماره ۱، ص. ۴۸-۳۹، پاییز ۱۳۸۹.
- 13- S. Raygan, J.V. Khaki, and M.R. Aboutalebi, "Effect of mechanical activation on the packed-bed, high temperature behavior of hematite and graphite mixture in air", *Journal of Materials Synthesis Processing*, Vol. 10, pp. 113–120, 2002.
- 14- N. Setoudeh, A.Saidi, and N.J.Welham, "Carbothermic recution of anatase and rutile", *Journal of Alloys and Compounds*, Vol. 390, pp. 138-143, 2005.
- 15- M. Erdemuglu, "Carbothermic reduction of mechanically activated celestite", *International Journal of Minerals Processing*, Vol. 92, pp. 144–152, 2009.
- 16- N.Setoudeh, M. Ali Askari Zamani and N.J.Welham, "Carbothermic reduction of mechanically activated mixtures of celestite and carbon", *World Academy of Science, Engineering and Technology*, Vol. 74, pp.444-447, 2011.
- 17- N.J. Welham and N. Setoudeh, "Highly adsorbent carbon formed by ball milling", *Carbon*, Vol. 43 pp.855-894, 2005.
- 18- N.J. Welham, V. Berbenni and PG. Chapman, "Activation of graphite sorption by ball milling", *Journal of Alloys and Compounds*, Vol. 349 (1-2), pp.255-263, 2003.
- 19- N.J.Welham, V. Berbenni and P.G.Chapman, "Increased chemisorptions onto activated carbon after ball milling", *Carbon*, Vol.40 (13), pp.2307-2315, 2002.
- 20- Terkel Rosenqvist, *Principles of ExtractiveMetallurgy*, Ch.14, Second Edition, McGraw-Hill, 1983.
- 21- R. Gopi Chandran, K.C. Patil, and G.T. Chandrappa, "Combustion synthesis and properties of mullite-zirconia composites", *Journal of Materials Science*, Vol.31, pp.5773-5779, 1996.
- 22- P.N. Kuznetsov, L.I. Kuznetsova, A.M. Zhyzhaev, V.I. Kovalchuk, A.I. Sannikov, and V.V. Boldyrev, "Investigation of mechanically stimulated solid phase polymorphic transition of zirconia", *Applied catalysis A: General*, Vol.298, pp.254-260, 2006.
- 23- R. C. Garvic, "Crystallization of the tetragonal structure in zirconia microcrystal", *Journal of the Physical Chemistry*, Vol. 82 (2), pp.218-224, 1978.
- 24- T. Ebadzadeh, and E. Ghasemi, "Effect of  $TiO_2$  addition on the stability of t- $ZrO_2$  in mullite- $ZrO_2$  composites prepared from various starting materials", *Ceramics International*, Vol.28, pp.447-450, 2002
- 25- J.R. Kelly, and I. Denry, "Stabilized zirconia as a structural ceramic: An overview", *Dental Materials*, Vol. 24, pp.289-298, 2008.
- 26- Y. Xu, Z. Huang, Y.-Gai Liu, M. Fang, L. Yin and M. Guan, "Influence of yttria addition on the phase transformations of zirconia from zircon ore by carbothermal reduction process", *Solid State Sciences*, Vol. 14, pp. 730-734, 2012.

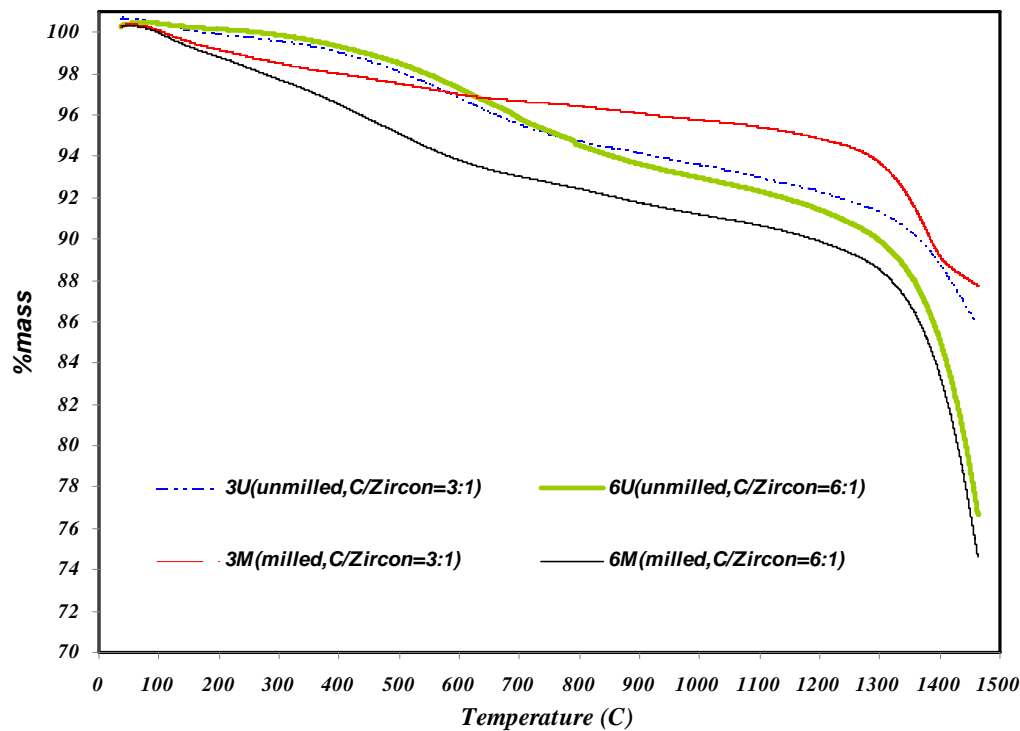
## پیوست‌ها

جدول ۱- مشخصات نمونه‌ها، نسبت مولی زیرکن به کربن و شرایط آزمایش مربوط به هر نمونه

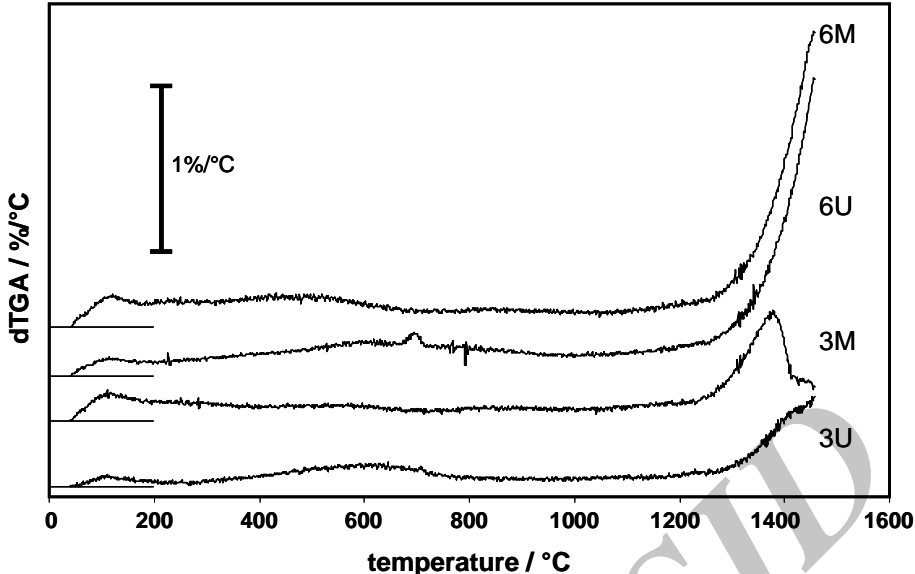
کد نمونه	شرایط آزمایش	نسبت مولی زیرکن به کربن
3U	بدون آسیاکاری- محصول آزمایش TGA	۱:۳
6U	بدون آسیاکاری- محصول آزمایش TGA	۱:۶
3M	پنج ساعت آسیاکاری- محصول آزمایش TGA	۱:۳
6M	پنج ساعت آسیاکاری- محصول آزمایش TGA	۱:۶
6MI	پنج ساعت آسیاکاری- محصول آزمایش گرمایش هم‌دما	۱:۶
3MI	پنج ساعت آسیاکاری- محصول آزمایش گرمایش هم‌دما	۱:۳

جدول ۲- مقدار فاز زیرکونیای تتراغونال در باقی مانده‌های بدست آمده از آزمایش آنالیز حرارتی (TGA) در اتمسفر آرگن (شرایط ناخمدا)

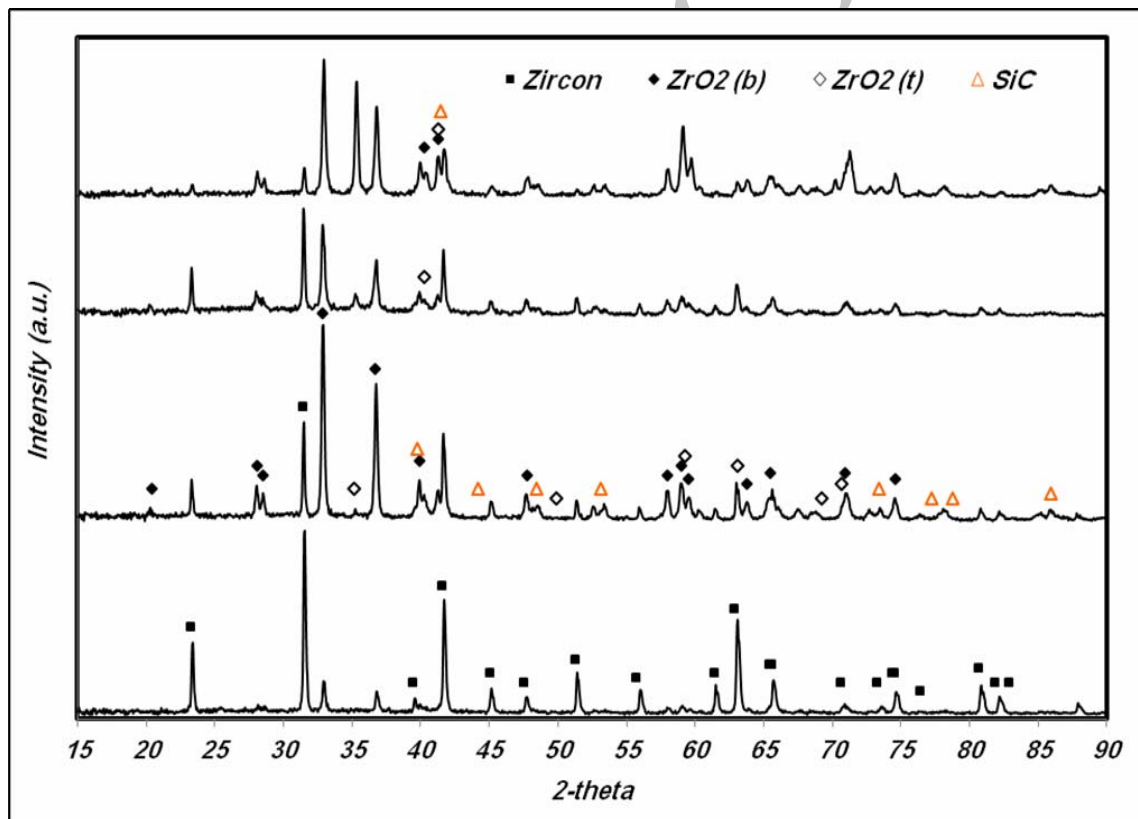
کد نمونه	مقدار (درصد) فاز زیرکونیای تتراغونال
3U	صفر
3M	%۹
6U	%۳/۵
6M	%۳۴/۵



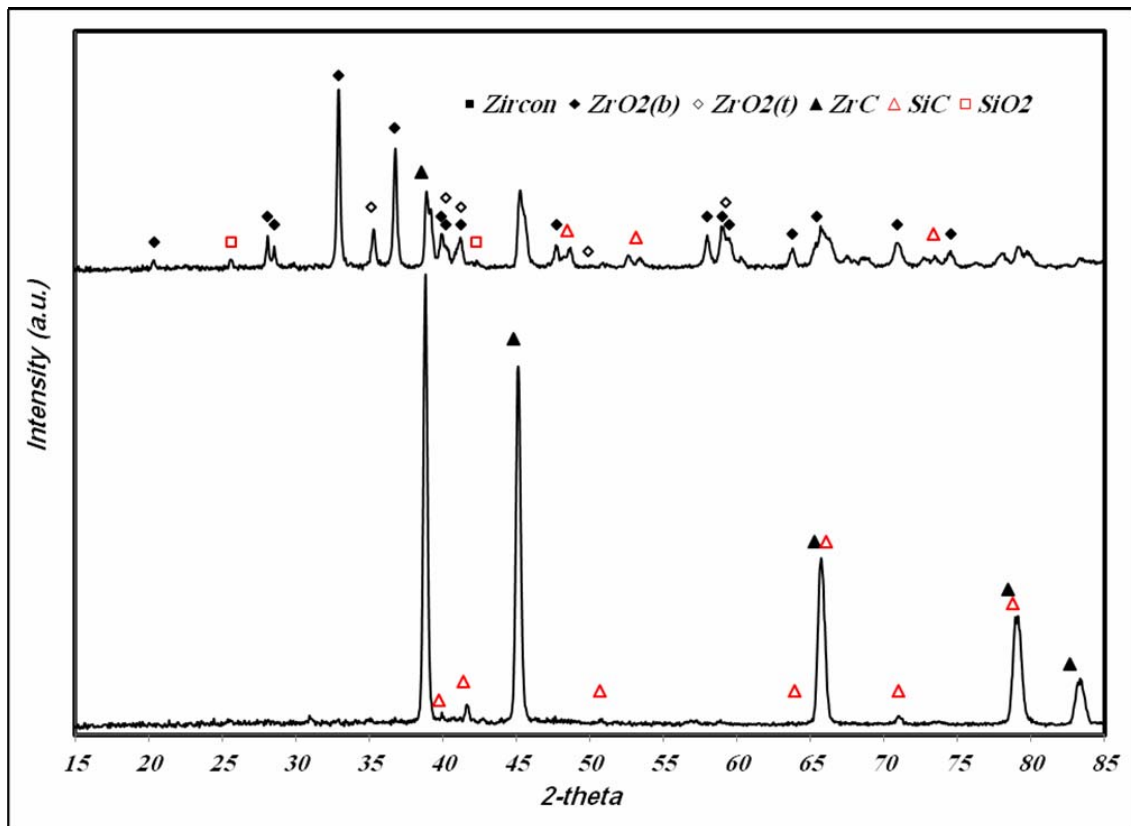
شکل ۱- نتایج آزمایش‌های (TGA) بر حسب دما (سانتیگراد) در اتمسفر آرگن با خلوص بالا روی مخلوط نمونه‌های زیرکن-کربن فعال (مشخصات نمونه‌ها در جدول ۱ آمده است)



شکل ۲- نمودار dTGA بر حسب دما (سانتی گراد). داده ها با استفاده از نتایج شکل ۱ محاسبه شده است.



شکل ۳- نتایج پراش اشعه ایکس باقی مانده های بدست آمده از آزمایش (TGA) روی مخلوط زیرکن-کربن فعال در شرایط ناهم دما. مشخصات نمونه ها بر اساس جدول ۱. به ترتیب از پایین: نمونه (3U) نمودار پایین، نمونه 6U ، نمونه 3M، نمونه (6M) نمودار بالایی.



شکل ۴- نتایج پراش اشعه ایکس آزمایش گرمایش همدما در اتمسفر آرگن با خلوص بالا در دمای ۱۴۰۰ درجه سانتی گراد به مدت یک ساعت روی مخلوط زیرکن-کربن فعال . مشخصات نمونه بر اساس جدول ۱، نمونه 6MI نمودار پایین، نمونه 3MI نمودار بالایی.

Archive of SID